

## 단 신

### 항균성을 가진 1,3,4-Thiadiazino[5,6-*b*]quinoxaline류의 합성

김호식\* · 김동은 · 이경환 · Yoshihisa Kurasawa†

대구가톨릭대학교 자연대학 화학과

†日本 北里大學 藥學部

(2003. 4. 7 접수)

### Synthesis of 1,3,4-Thiadiazino[5,6-*b*]quinoxalines with Antimicrobial Activity

Ho Sik Kim\*, Tong Eun Kim, Kyong Ilwan Lee, and Yoshihisa Kurasawa†

Department of Chemistry, Catholic University of Daegu, Gyongsan 712-702, Korea

†School of Pharmaceutical Sciences, Kitasato University, Tokyo 108-8641, Japan

(Received April 7, 2003)

주제어: 1,3,4-Thiadiazino[5,6-*b*]quinoxaline류, 항균성, 항조류성

Keywords: 1,3,4-Thiadiazino[5,6-*b*]quinoxalines, Antimicrobial Activity, Algicidal Activity

#### 서 론

4*H*-1,3,4-Thiadiazine(1)류와 quinoxaline(2)류는 다음과 같은 기본적인 구조를 가지고 있다(Chart 1).

위와 같은 헤테로고리 화합물들은 생물활성을 가지는 것이 많다고 보고되어 있다.<sup>1-3</sup> 몇가지 4*H*-1,3,4-thiadiazino[5,6-*b*]quinoxaline류(3)가, 2,3-dichloroquinoxaline(4)과 thioacylhydrazine류(5)의 Smiles 자리옮김반응<sup>4</sup>

으로 합성되었으나(Chart 2),<sup>5,6</sup> 이와 같은 방법으로 합성된 화합물 3은 C<sub>2</sub>-Me 및 C<sub>2</sub>-Ph가 나쁜 기로 치환되기 어렵기 때문에 본 연구실에서는 2번 탄소에 치환이 가능한 4*H*-1,3,4-thiadiazino[5,6-*b*]quinoxaline류를 합성한 바 있다.<sup>7-9</sup>

따라서 본 연구에서는 1,3,4-thiadiazino[5,6-*b*]quinoxaline류들 합성한 경험을 기반으로 2,3-dihydroxyquinoxaline(10)과 2,6-dichloroquinoxaline(11)을 출발물질로 하여 여러 가지 시약과 반응시켜 quinoxaline 고리에 1,3,4-thiadiazine 고리가 결합된 새로운 1,3,4-thiadiazino[5,6-*b*]quinoxaline류를 합성하였으며, 합성한 화합물에 대한 항균성과 항조류성을 조사하였다.

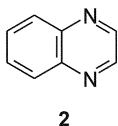
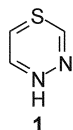
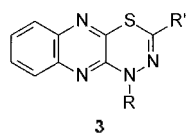
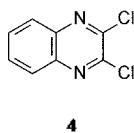


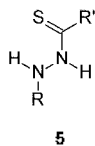
Chart 1.



R = H, Ph  
R' = Me, Ph



4



R = H, Ph  
R' = Me, Ph

Chart 2.

#### 실 험

본 실험에서 사용한 시약은 특급품을 정제하지 않고 사용하였으며, 용매는 EP급을 주로 사용하였다. 출발물질로 사용한 2,3-dihydroxyquinoxaline(10)<sup>10</sup>과 2,6-dichloroquinoxaline(11)<sup>11,12</sup>은 문헌에 알려진 방법으로 합성하였다. 그리고 녹는점은 Haake Buchler사의 디지털 녹는점 측정장치로써 얻었고, 보정은 하지 않았다.

IR 스펙트럼은 Mattson Polaris FT-IR 분광광도계를 사용하여 얻었고,  $^1\text{H}$  NMR 스펙트럼은 Varian Gemini-200(200 MHz) 분광계를 사용하여 얻었다. 그리고 Mass 스펙트럼은 Shimadzu GC/MS QP-5000 분광계를 사용하여 얻었다.

**2-Substituted amino-4*H*-1,3,4-thiadiazino[5,6-*b*]quinoxaline 류(14)의 합성.** 환류냉각기가 부착된 100 mL 플라스크에 화합물 **13**(1 g, 5 mmol), methyl isothiocyanate(0.56 g, 7.7 mmol), 그리고 *N,N*-디메틸포름아미드 30 mL를 넣고 기름증탕에서 2시간 환류시켰다. 반응물을 실온으로 냉각시킨 후 생성된 고체를 감압여과한 다음 *N,N*-디메틸포름아미드-에탄올로 재결정하여 붉은색 결정인 2-methylamino-4*H*-1,3,4-thiadiazino[5,6-*b*]quinoxaline (**14a**) 0.53 g(수득률 46%)을 얻었다. mp: 240-241 °C; IR(KBr,  $\text{cm}^{-1}$ ): 3365, 1639, 1410; MS(*m/z*): 231( $M^+$ );  $^1\text{H}$  NMR(DMSO- $d_6$ ,  $\delta$ ): 10.11(s, 1H, NH), 7.65-7.24(m, 4H, aromatic H), 6.63(brs, 1H, NH), 2.70(d, *J*-4.6 Hz, 3H,  $\text{CH}_3$ ).

그리고, 화합물 **13**을 phenyl isothiocyanate 및 ethoxycarbonyl isothiocyanate와 각각 반응시킨 화합물 **14b,c**를 합성할 경우에는 화합물 **14a**와 같은 당량비로 하였으나, 용매는 에탄올을 사용하였다.

2-Phenylamino-4*H*-1,3,4-thiadiazino[5,6-*b*]quinoxaline (**14b**)은 고동색 결정으로 0.90 g(수득률 61%)을 얻었다. mp: 300 °C(dec.); IR(KBr,  $\text{cm}^{-1}$ ): 3230, 1637, 1409, 748, 689; MS(*m/z*): 293( $M^+$ );  $^1\text{H}$  NMR(DMSO- $d_6$ ,  $\delta$ ): 10.35(s, 1H, NH), 9.05(s, 1H, NH), 7.70-6.87(m, 9H, aromatic H).

2-Ethoxycarbonylamino-4*H*-1,3,4-thiadiazino[5,6-*b*]quinoxaline(**14c**)은 노란색 결정으로 0.79 g(수득률 55%)을 얻었다. mp: 242-243 °C; IR(KBr,  $\text{cm}^{-1}$ ): 3226, 1695, 1406; MS(*m/z*): 289( $M^+$ );  $^1\text{H}$  NMR(DMSO- $d_6$ ,  $\delta$ ): 10.73(s, 1H, NH), 10.58(s, 1H, NH), 7.64-7.30(m, 4H, aromatic H), 4.12(q, *J*-7.0 Hz, 2H,  $\text{CH}_2$ ), 1.22(t, *J*-7.0 Hz, 3H,  $\text{CH}_3$ ).

**1-(3-Chloroquinoxaliny)-4-ethoxycarbonyl-2-thiosemicarbazate(15c)의 합성.** 환류냉각기가 부착된 250 mL 플라스크에 화합물 **13**(1 g, 5 mmol), ethoxycarbonyl isothiocyanate(1 g, 7.5 mmol), 그리고 클로로폼 50 mL를 넣고 기름증탕에서 2시간 환류시켰다. 반응물을 실온으로 냉각시킨 후 생성된 고체를 감압여과하여 붉은색 결정인 화합물 **15c**(0.82 g, 수득률 50%)을 얻었다. mp: 192-193 °C; IR(KBr,  $\text{cm}^{-1}$ ): 3289, 1716, 1544, 1450,

1238; MS(*m/z*): 325( $M^+$ ), 327( $M^+ + 2$ );  $^1\text{H}$  NMR(DMSO- $d_6$ ,  $\delta$ ): 11.48(s, 1H, NH), 9.83(s, 1H, NH), 7.94-7.55(m, 4H, aromatic H), 4.25(q, *J*-7.0 Hz, 2H,  $\text{CH}_2$ ), 1.28(t, *J*-7.0 Hz, 3H,  $\text{CH}_3$ ).

**6-Chloro-2-[2-(*N*-substituted thiocarbamoyl)hydrazino]quinoxaline 4-Oxide류(18)의 합성(일반적인 방법).** 환류냉각기가 부착된 100 mL 플라스크에 화합물 **17**(1 g, 5 mmol), methyl isothiocyanate(0.73 g, 10 mmol), 그리고 tetrahydrofuran 30 mL를 넣고 기름증탕에서 3시간 환류시켰다. 용매를 증발제거시킨 후 물을 가해 생긴 결정을 감압여과하여 미색 결정인 6-chloro-2-[2-(*N*-methylthiocarbamoyl)hydrazino]quinoxaline 4-oxide(**18a**) 0.98 g(수득률 69%)을 얻었다. mp: 223-224 °C; IR(KBr,  $\text{cm}^{-1}$ ): 3273, 1576, 1561, 1498, 1391, 1223; MS(*m/z*): 283( $M^+$ ), 285( $M^+ + 2$ );  $^1\text{H}$  NMR(DMSO- $d_6$ ,  $\delta$ ): 9.52(s, 1H, NH), 9.48(s, 1H, NH), 8.26(s, 1H,  $\text{C}_5\text{-H}$ ), 7.90(s, 1H,  $\text{C}_8\text{-H}$ ), 7.80-7.70(m, 2H, aromatic  $\text{C}_2\text{-H}$  and  $\text{C}_8\text{-H}$ ), 2.87(d, *J*-4.3 Hz, 3H,  $\text{CH}_3$ ).

6-Chloro-2-[2-(*N*-ethoxycarbonylthiocarbamoyl)hydrazino]quinoxaline 4-Oxide(**18b**)는 황색 결정으로 1.26 g(수득률 74%)을 얻었다. mp: 176-177 °C; IR(KBr,  $\text{cm}^{-1}$ ): 3210, 1719, 1541, 1478, 1233; MS(*m/z*): 341( $M^+$ ), 343( $M^+ + 2$ );  $^1\text{H}$  NMR(DMSO- $d_6$ ,  $\delta$ ): 11.63(s, 1H, NH), 11.40(s, 1H, NH), 10.52(s, 1H, NH), 8.63(s, 1H,  $\text{C}_5\text{-H}$ ), 7.93(s, 1H,  $\text{C}_8\text{-H}$ ), 7.80-7.40(m, 2H, aromatic  $\text{C}_2\text{-H}$  and  $\text{C}_8\text{-H}$ ), 4.24(q, *J*-7.0 Hz, 2H,  $\text{CH}_2$ ), 1.28(t, *J*-7.0 Hz, 3H,  $\text{CH}_3$ ).

**8-Chloro-2-phenylamino-4*H*-1,3,4-thiadiazino[5,6-*b*]quinoxaline(19)의 합성.** 환류냉각기가 부착된 100 mL 플라스크에 화합물 **17**(1 g, 5 mmol), phenyl isothiocyanate (2 g, 14.2 mmol), 그리고 tetrahydrofuran 30 mL를 넣고 기름증탕에서 6시간 환류시켰다. 용액을 실온으로 냉각시킨 후 결정을 감압여과하여 주황색 결정인 화합물 **19**(0.72 g, 수득률 44%)을 얻었다. mp: 218-219 °C; IR(KBr,  $\text{cm}^{-1}$ ): 3205, 1551, 1345, 1276; MS(*m/z*): 327( $M^+$ ), 329( $M^+ + 2$ );  $^1\text{H}$  NMR(DMSO- $d_6$ ,  $\delta$ ): 10.37(s, 1H, NH), 9.85(s, 1H, NH), 9.15(s, 1H, NH), 8.05(d, *J*-2.7 Hz, 1H,  $\text{C}_9\text{-H}$ ), 7.85-6.88(m, 7H,  $\text{C}_6\text{-H}$ ,  $\text{C}_8\text{-H}$  and aromatic H).

**7-Chloro-1,2,4-triazolo[4,3-*a*]quinoxalin-3-ium-1-thiolate(20)의 합성.** 환류냉각기가 부착된 100 mL 플라스크에 화합물 **17**(0.5 g, 2.4 mmol), phenyl isothiocyanate (1.01 g, 7.1 mmol), 그리고 *N,N*-디메틸포름아미드 20 mL를 넣고 기름증탕에서 2시간 환류시켰다. 용매를 증

발제거시킨 후 에탄올을 가해 생긴 결정을 감압이과하여 흑갈색 결정인 화합물 **20**(0.46 g, 수득률 81%)을 얻었다. mp: 250-251 °C; IR(KBr, cm<sup>-1</sup>): 3241, 1630, 1560, 1253, 1193; MS(m/z): 236(M<sup>+</sup>), 238(M<sup>+</sup>-2); <sup>1</sup>H NMR (DMSO-d<sub>6</sub>, δ): 15.05(brs, 1H, NH), 10.34(d, *J*-9.0 Hz, 1H, C<sub>9</sub>-H), 9.15(s, 1H, C<sub>7</sub>-H), 8.07(d, *J*-2.4 Hz, 1H, C<sub>6</sub>-H), 7.82(dd, *J*-2.4, 9.0 Hz, 1H, C<sub>8</sub>-H).

**결과 및 고찰**

전보<sup>13</sup>에서 4H-1,3,4-oxadiazino[5,6-*b*]quinoxaline류의 합성에 대하여 보고하였는데, 합성한 화합물 중에서 항조류성을 조사한 결과 화합물 **6, 7**의 성장저해(Growth Inhibition, %)는 500 ppb의 농도에서 *Selenastrum capricornutum*에 대하여 92.0%, 45.1%로 나타났으며, 화합물 **8, 9**는 *Nitzschia closterium*에 대하여 41.0%, 43.2%로 항조류성을 나타내었다(Chart 3).

본 연구에서는 전보<sup>13</sup>에서 합성한 1,3,4-oxadiazino[5,6-*b*]quinoxaline류의 oxadiazine 고리에 있는 산소 원자 대신에 황 원자가 치환된 1,3,4-thiadiazino[5,6-*b*]quinoxaline류를 합성하고 이들 화합물의 항균성을 조사하였다. 즉, *o*-페닐렌디아민과 oxalic acid dihydrate를 반응시켜 얻은 2,3-dihydroxyquinoxaline(**10**), 그리고 6-chloro-2-quinoxalinone을 phosphoryl chloride로 염소화반응시켜 얻은 2,6-dichloroquinoxaline(**11**)을 출발물질로 하여 이들을 여러 가지 시약과 반응시켜 생물학적 활성이 기대되는 1,3,4-thiadiazino[5,6-*b*]quinoxaline류의 합성을 시도하였는데, 이들의 합성경로는 다음과 같다.

화합물 **10**을 phosphorous pentachloride로 염소화반응시켜 항결핵성을 가진 2,3-dichloroquinoxaline(**12**)을 합성한 다음,<sup>11-16</sup> hydrazine hydrate로 hydrazinolysis시켜 2-chloro-3-hydrazinoquinoxaline(**13**)을 합성하였다.<sup>17</sup> 이것을 isothiocyanate류와 *N,N*-디메틸포름아미드 또는

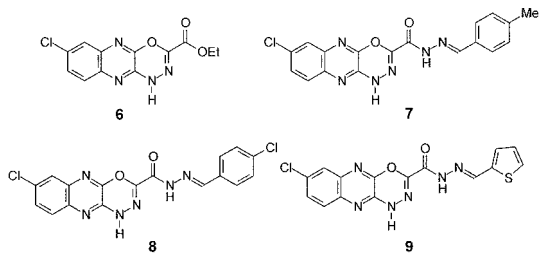
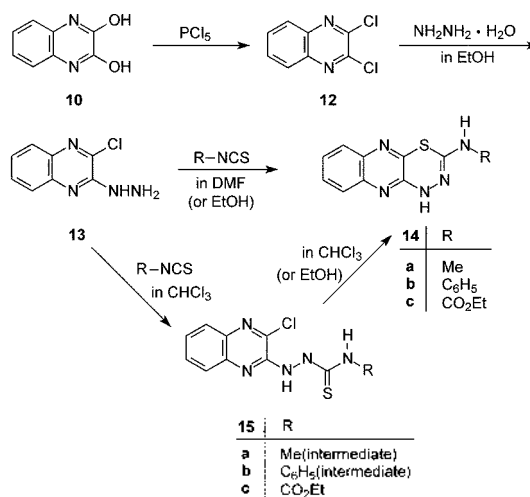


Chart 3.

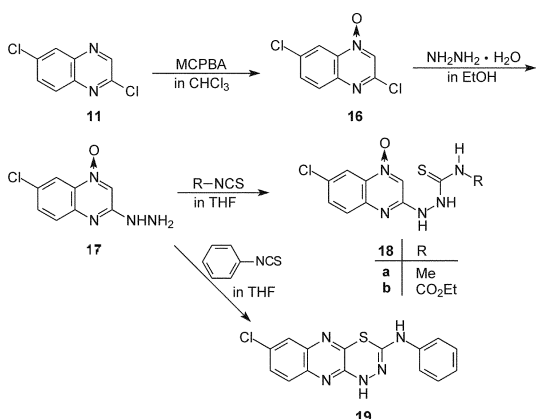


Scheme 1.

에탄올 용매하에서 반응시켜 2-methylamino-4H-1,3,4-thiadiazino[5,6-*b*]quinoxaline(**14a**), 2-phenylamino-4H-1,3,4-thiadiazino[5,6-*b*]quinoxaline(**14b**) 및 2-ethoxycarbonylamino-4H-1,3,4-thiadiazino[5,6-*b*]quinoxaline(**14c**)을 각각 합성하였다(Scheme 1).

그런데, 화합물 **13**을 클로로폼 용매하에서 ethoxycarbonyl isothiocyanate와 반응시키면 안정한 화합물인 1-(3-chloroquinoxalinyl)-4-ethoxycarbonyl-2-(thiosemicarbazate(**15c**)가 생성되었고, 이것을 에탄올 용매하에서 환류시키면 분자내 고리화반응에 의해 화합물 **14c**가 생성되었다. 그러나 화합물 **13**을 methyl isothiocyanate 또는 phenyl isothiocyanate와 클로로폼 용매하에서 반응시키니 화합물 **15b,c**가 분리되지 않고 이들의 중간체를 거쳐 분자내 고리화반응이 일어나서 화합물 **14b,c**가 생성되었다. 화합물 **14**의 확인은 화합물 **13**의 <sup>1</sup>H NMR 스펙트럼에서 나타났던 4.69-4.62 ppm에서의 아미노기의 피이크가 나타나지 않는 것과 IR 및 MS 스펙트럼 등으로 확인하였으며, 화합물 **15c**는 IR 스펙트럼에서 1716 cm<sup>-1</sup>에서 나타난 카르보닐기의 흡수띠와 <sup>1</sup>H NMR 및 MS 스펙트럼 등으로 확인하였다.

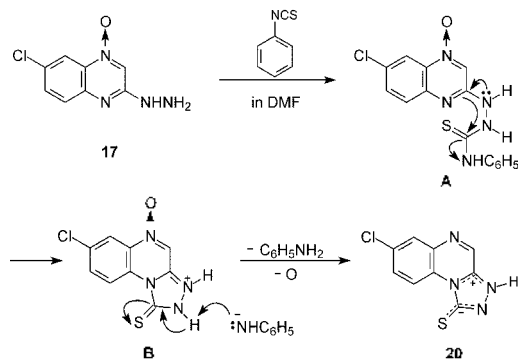
이번에는 이미 보고<sup>11,12,18</sup>된 방법으로 2,6-dichloroquinoxaline(**11**)을 출발물질로 하여 *m*-chloroperbenzoic acid (MCPBA)와 반응시켜 2,6-dichloroquinoxaline 4-oxide(**16**)를 합성한 다음 hydrazinolysis시켜 6-chloro-2-hydrazinoquinoxaline 4-oxide(**17**)를 합성하였다. 화합물 **17**을 isothiocyanate류와 반응시켜 6-chloro-2-[2-(*N*-



methylthiocarbamoyl)hydrazino]quinoxaline 4-oxide (**18a**), 6-chloro-2-[2-(*N*-ethoxycarbonylthiocarbamoyl)-hydrazino]quinoxaline 4-oxide (**18b**) 및 8-chloro-2-phenylamino-4*H*-1,3,4-thiadiazino[5,6-*b*]quinoxaline (**19**)을 합성하였다 (Scheme 2).

화합물 **17**을 methyl isothiocyanate 또는 ethoxycarbonyl isothiocyanate와 tetrahydrofuran 용매하에서 반응시키니 화합물 **18a,b**가 생성되었다. 그러나 화합물 **17**을 phenyl isothiocyanate와 tetrahydrofuran 용매하에서 반응시키니 화합물 **19**가 생성되었다. quinoxaline *N*-oxide 류의  $\alpha$ -탄소는 *N*-oxide moiety에 아실화반응이 일어난 후 친핵성 공격이 쉽게 일어난다.<sup>3,7,9</sup> 본 연구에서는 그러한 조건이 아닌데도 화합물 **19**가 생성되었다. 그리고 용매를 *N,N*-디메틸포름아미드를 사용하면 화합물 **18**이 분리되지 않고 중간체 **A**, **B**를 거쳐 메소 이온형 화합물<sup>9,19-22</sup>인 7-chloro-1,2,4-triazolo[4,5-*a*]quinoxalin-3-ium-1-thiolate(**20**)가 생성되었다. 이것은 용매의 극성 때문에 triazole 고리가 생성된 것으로 볼 수 있다. 그리고 phenyl isothiocyanate는 탈산소제<sup>23</sup>로서 탈산소 메카니즘에 참여 하였는데, 반응 메카니즘은 다음과 같다 (Scheme 3).

합성한 화합물 중에서 화합물 **15c**는 *Bacillus subtilis*에 대하여 최소발육저지농도(Minimum Inhibitory Concentration: MIC, ppm)가 >10 ppm으로 항균성을 나타내었고, 화합물 **19**는 *Bacillus subtilis*, *Rhodotorula mucilaginosa*, *Trichophyton mentagrophytes*에 대하여 MIC가 각각 >10 ppm으로 항균성 및 항진균성을 나타내었다. 그리고 화합물 **14a**, **15c**의 성장지해(Growth Inhibition, %)



는 500 ppb의 농도에서 *Selenastrum capricornutum*에 대하여 93.2%, 42.1%로 나타났으며, 화합물 **14c**는 *Selenastrum capricornutum*, *Nitzschia closterium*에 대하여 93.0%, 86.5%로 항조류성을 나타내었다.

본 연구는 2003학년도 대구가톨릭대학교 연구비 지원에 의하여 수행되었으며, 항균성과 항조류성에 대한 screening tests는 日産化学工業株式会社(일본)에 의하여 수행되었기에 감사의 말씀을 드립니다.

## 인용 문헌

- (a) Smalley, R. K. *Comprehensive Heterocyclic Chemistry II*; Katrizky, A. R., Rees, C. W., Scriven, E. F. V., Eds.; Pergamon Press: Oxford, U. K., 1996; Vol. 6, pp 737-781. (b) Sato, N. *Comprehensive Heterocyclic Chemistry II*; Katrizky, A. R., Rees, C. W., Scriven, E. F. V., Eds.; Pergamon Press: Oxford, U. K., 1996; Vol. 6, pp 234-278. (c) Cheeseman, G. W. H.; Cookson, R. F. *The Chemistry of Heterocyclic Compounds, Condensed Pyrazines*; Weissberger, A., Taylor, E. C., Eds.; John Wiley & Sons: New York, U. S. A., 1979; pp 1-290.
- Kurasawa, Y.; Takada, A.; Kim, H. S. *J. Heterocyclic Chem.* **1995**, *32*, 1085.
- Kim, H. S.; Kurasawa, Y. *Heterocycles* **1998**, *49*, 557.
- Elliott, A. J.; Gibson, M. S.; Kayser, M. M.; Pawelchak, G. A. *Can. J. Chem.* **1973**, *51*, 4115.
- Elliott, A. J. *J. Heterocyclic Chem.* **1981**, *18*, 799.
- Elliott, A. J. *U. S. Patent 1997*, 4025510; *Chem. Abstr.* **1997**, *87*, 153420h.
- Kurasawa, Y.; Sekine, M.; Kim, H. S.; Okamoto, Y. *J. Heterocyclic Chem.* **1996**, *33*, 1859.
- Kim, H. S.; Okamoto, Y.; Kurasawa, Y. *J. Heterocyclic*

- Chem.* **1997**, *34*, 1029.
9. Kim, H. S.; Kim, T. E.; Kwag, S. T.; Park, Y. T.; Hong, Y. S.; Okamoto, Y.; Kurasawa, Y. *J. Heterocyclic Chem.* **1997**, *34*, 1539.
10. Mager, H. I. X.; Berends, W. *Rec. Trav. Chim. Pays-Bas* **1958**, *77*, 842.
11. Sakata, G.; Makino, K. *Chem. Lett.* **1984**, 323.
12. Makino, K.; Sakata, G.; Morimoto, K.; Ochiai, Y. *Heterocycles* **1985**, *23*, 2025.
13. Kim, T. E.; Kim, H. S. *J. Korean Chem. Soc.* **1998**, *42*, 449.
14. Cheeseman, G. W. H. *J. Chem. Soc.* **1962**, 1170.
15. Tomoda, H.; Saito, S.; Ohishi, M.; Shiraiishi, S. *Nippon Kagaku Kaishi* **1989**, 2059.
16. Asano, K. *Yakugaku Zasshi* **1958**, *78*, 729.
17. Reddy Sastry, C. V.; Krishnan, V. S. H.; Narayan, G. K. A. S. S.; Vemana, K. *Ind. J. Chem.* **1991**, *30B*, 936.
18. Kim, H. S.; Kurasawa, Y.; Yoshii, C.; Masuyama, M.; Takada, A.; Okamoto, Y. *J. Heterocyclic Chem.* **1990**, *27*, 1111.
19. Newton, C. G.; Ramsden, C. A. *Tetrahedron* **1982**, *38*, 2965.
20. Friedrichsen, W.; Kappe, T.; Bottcher, A. *Heterocycles* **1982**, *19*, 1083.
21. Kurasawa, Y.; Kawano, T.; Katoh, A.; Takada, A.; Kim, H. S.; Okamoto, Y. *J. Heterocyclic Chem.* **1992**, *29*, 1337.
22. Buccheri, F.; Cusmano, G.; Gruttadauria, M.; Noto, R.; Werber, G. *J. Heterocyclic Chem.* **1997**, *34*, 1447.
23. Kurasawa, Y.; Yoshishiba, N.; Kureyama, T.; Okano, T.; Takada, A.; Kim, H. S.; Okamoto, Y. *J. Heterocyclic Chem.* **1992**, *29*, 1653.